

# پیشنهاد مبدل DC/DC کاهنده - افزاینده جهت بهبود اخذ حداکثر

## توان از سلول‌های خورشیدی

همستی خیابانی، سعید معصومی

دانشکده مکانیک، دانشکده مهندسی برق و کامپیوتر

دانشگاه تبریز

تبریز، ایران

علی ایمانی

دانشکده مهندسی برق

دانشگاه آزاد اسلامی واحد تبریز

تبریز، ایران

### ۱. مقدمه

با منابع انرژی‌های تجدید پذیر، نقش مهمی را در تولید توان الکتریکی بر عهده دارند. منابع انرژی تجدید پذیر مختلفی، مانند انرژی خورشیدی، انرژی باد، انرژی زمین گرمایی و انواع دیگر این نوع انرژی‌ها وجود دارد، که برای تولید انرژی الکتریکی مهم هستند. انرژی خورشیدی انتخاب خوبی برای تولید توان الکتریکی می‌باشد. این نوع انرژی به صورت مستقیم از طریق سلول‌های خورشیدی و از طریق پدیده فوتوفالکتریک و با استفاده از مواد نیمه رسانا به انرژی الکتریکی تبدیل می‌شود [۱ و ۲].

انرژی خورشیدی از طریق سلول‌های خورشیدی به انرژی الکتریکی تبدیل می‌شود، اما انرژی تولیدی توسط این سلول‌ها اندک بوده، لذا برای تولید بیشتر این انرژی، سلول‌های خورشیدی به صورت سری به هم وصل می‌شوند و مازول‌های فوتولوئنائیک را تشکیل می‌دهند، که قادر است توان الکتریکی زیادی را تولید کند. به صورت معمول در یک مازول PV حدود ۳۶ سلول خورشیدی وجود دارد که در حالت مدار باز ولتاژی در حدود ۲۰ ولت را در اختیار ما قرار می‌دهد. میزان جریان تولیدی توسط مازول PV نیز وابسته به مساحت سلول‌های خورشیدی است. مساحت بزرگتر برای هر سلول خورشیدی موجب تولید جریان بالاتری می‌شود. برای بدست آوردن

چکیده — امروزه با توجه به کاهش منابع انرژی گرایش خاصی به انرژی‌های نو مانند انرژی باد و انرژی خورشیدی ایجاد شده است. انرژی تولیدی توسط سلول‌های خورشیدی تحت تاثیر شرایط محیطی از قبیل دما و تابش است، لذا ولتاژ تولیدی دارای دامنه متغیر است که در یک نقطه خاص این انرژی تولیدی توسط سلول‌های خورشیدی حداکثر مقدار خود را دارد. پس از روش‌هایی موسوم به تعقیب‌گر نقطه حداکثر توان بهره برد. مبدل‌های DC/DC که وظیفه حداکثر کردن توان تولیدی توسط سلول خورشیدی را بر عهده دارند بسته به نوع بار وصل شده می‌توانند از نوع کاهنده، افزاینده و یا کاهنده-افزاینده باشند، که از این میان نوع کاهنده و افزاینده عملکردی دارند که به ازای برخی از نواحی کاری سلول خورشیدی نمی‌توانند نقطه حداکثر توان را تعقیب کنند. بنابراین نوع کاهنده-افزاینده مانند KY و ترکیبی، و مبدل پیشنهادی ما برای مقاصد مورد نظر مطلوب‌تر خواهد بود. مبدل پیشنهادی با نرم‌افزار MATLAB شبیه‌سازی می‌شود. نتایج حاصل حاکی از رفتار مطلوب این مبدل از قبیل ریپل کم ولتاژ خروجی و جریان ورودی تحت شرایط یکسان در مقایسه با انواع خاصی از مبدل‌های کاهنده-افزاینده و دارای تعداد کلیدهای قدرت کمتر در نتیجه تلفات کمتر در مقایسه با انواع دیگری از این مبدل‌ها می‌باشد.

واژه‌های کلیدی — سلول خورشیدی، مبدل DC/DC تعقیب نقطه ماقزیم توان، ها، ریپل جریان و ولتاژ

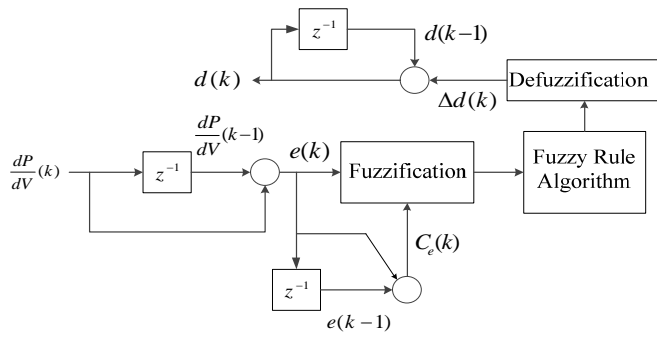
روش‌های بر مبنای منطق فازی برای انجام MPPT به اطلاعات دقیقی از مژول PV احتیاج ندارند. روش منطق فازی برای انجام MPPT به دو ورودی احتیاج دارد، و خروجی آن‌ها یک سیگنال می‌باشد.

دو ورودی منطق فازی متغیر خطای  $e$  و تغییر در مقدار خطای  $C_e$  در زمان نمونه  $\Delta k$  هستند، که به صورت روابط (۱) و (۲) تعریف می‌شوند.

$$e(k) = \frac{dP}{dV}(k) - \frac{dP}{dV}(k-1) \quad (1)$$

$$C_e(k) = e(k) - e(k-1) \quad (2)$$

که (۱) موقعیت خطار را نشان می‌دهد زمانیکه در نمونه  $\Delta k$  قرار داریم، ولی (۲) جهت خطار را در این نقطه مشخص می‌کند. خروجی این روش مقدار Duty برای کلیدزنی مبدل توان مورد استفاده است. در شکل (۳) فرآیند روش منطق فازی در پیدا کردن نقطه حداکثر توان نشان داده شده است.



شکل ۳: بلوك دياگرام روش منطق فازی برای تعقيب نقطه حداکثر توان PV

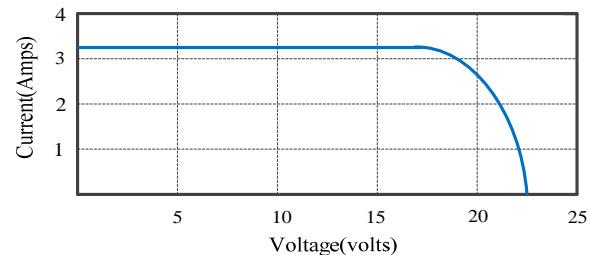
### ۳. مبدل DC/DC کاهنده- افزاینده پیشنهادی

زمانیکه روش MPPT مورد نظر برای یافتن حداکثر نقطه توان پانل خورشیدی انتخاب شد، گام بعدی انتخاب و طراحی یک مبدل با بازدهی بالاست، که بتوان بوسیله آن روش مورد نظر را پیاده‌سازی کرد.

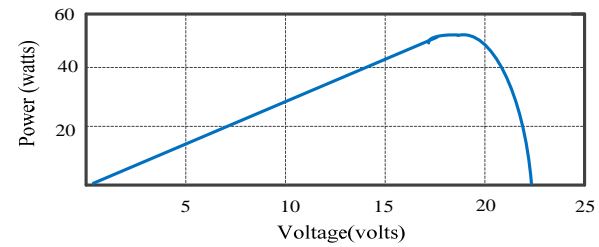
در این مبدل پیشنهادی، که ساختار آن در شکل (۴) نشان داده شده است، در خروجی می‌توان هم به ولتاژ بالاتر از ولتاژ ورودی و هم به ولتاژ پایین‌تر از ولتاژ ورودی دست یافت. به عبارت دیگر مبدل پیشنهادی یک مبدل DC/DC کاهنده- افزاینده با نسبت تبدیل  $(1-D)/(1+D)$  می‌باشد. همانطور که در شکل (۴) مشاهده می‌شود، این مبدل دارای سه کلید  $S_1, S_2, S_3$  و دو دیود  $D_1$  و  $D_2$ ، دو سلف  $L_1$  و  $L_2$  در ورودی

توان خروجی بالا، مژول‌های PV به صورت سری و موازی به هم وصل می‌شوند و پانل PV را تشکیل می‌دهند [۴].

به صورت تصادفی یک نمونه از منحنی ویژگی‌های مژول PV که منحنی‌های  $P_V$  و  $I_V$  نام دارد، در شکل‌های (۱) و (۲) نشان داده شده است. [۵]



شکل ۱: منحنی  $I_V$ - مژول PV



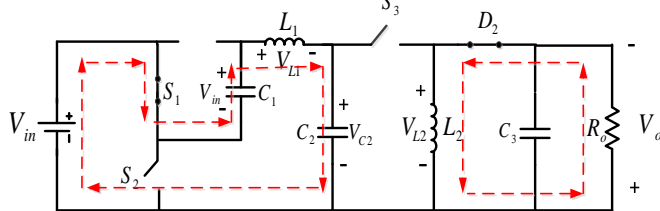
شکل ۲: منحنی  $P_V$ - مژول PV

همانطوری که از شکل (۱) دیده می‌شود، تنها یک نقطه کار برای مژول PV وجود دارد که در آن نقطه، توان تولیدی توسط مژول PV حداکثر می‌شود، و با توجه به اینکه بهره مژول PV کم و در حدود ۱۳ درصد است و از طرفی با توجه به اینکه با تغییر شدت تابش خورشید و تغییر دما منحنی‌های  $P_V$  و  $I_V$  مژول PV و متناظر با آن نقطه حداکثر توان تغییر می‌کند، لذا ضروری است تا با استفاده از روش‌هایی، نقطه کار PV در نقطه حداکثر توان نگه داشته شود، تا بازده و کارایی آن مطلوب باشد.

### ۲. روش تعقیب ماکزیمم توان (MPPT)

ابداع روش‌های MPPT هوشمند در سیستم‌های PV بسیار امید بخش است. این روش‌ها عملکرد بسیار خوبی را در اختیار قرار می‌دهند. از مزایای بسیار مهم این روش‌ها پاسخ سریع بدون هیچگونه ضربه و نوسانات کمتر برای پاسخ حالت ماندگار در حالتیکه دما و تابش به سرعت تغییر می‌کند، می‌باشد [۶ و ۷].

قبلی از طریق  $C_2$  مغناطیسی شده، در ورودی دشارژ می‌شود. در شکل (۵) مبدل پیشنهادی در این مد عملکرد نشان داده شده است.



شکل ۵: مدار الکتریکی مبدل کاهنده- افزاینده پیشنهادی زمانی که کلید S1 روشن است.

معادلات حالت مبدل پیشنهادی در این حالت به صورت زیر در می‌آید:

$$v_{L1} = V_{in} + v_{C1} - v_{C2} \quad (3)$$

$$v_{C1} = V_{in} \quad (4)$$

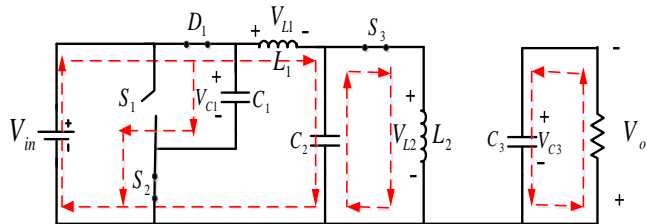
$$v_{L2} = -v_{C2} \quad (5)$$

با جایگذاری رابطه (۴) در رابطه (۳) :

$$v_{L1} = 2V_{in} - v_{C2} \quad (6)$$

#### مد عملکردی دوم:

در این حالت کلید  $S_1$  خاموش و کلید های  $S_3, S_2$  روشن هستند، دیود  $D_1$  بایاس مستقیم و دیود  $D_2$  بایاس معکوس می‌باشد. در این مد  $C_1$  به اندازه ولتاژ ورودی شارژ می‌شود و همزمان  $L_2$  مغناطیسی زدایی می‌شود. در شکل (۶) مبدل پیشنهادی در این حالت نشان داده شده است:



شکل ۶: مدار الکتریکی مبدل کاهنده- افزاینده پیشنهادی زمانی که کلید های S3 و S2 روشن است.

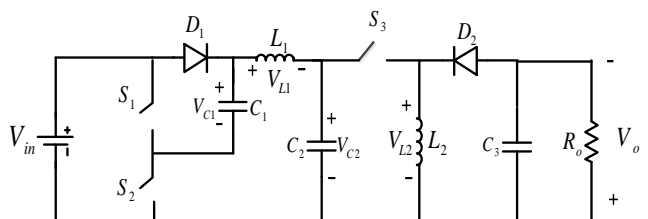
معادلات حالت برای مبدل پیشنهادی در این حالت عبارت اند از:

$$v_{L1} = V_{in} - v_{C2} \quad (7)$$

$$v_{L2} = v_{C2} \quad (8)$$

حال با توجه به اینکه میانگین ولتاژ روی سلف  $L_1$  در یک دوره کلیدزنی صفر است، داریم:

$$\int_0^T v_{L1} dt = 0 \quad (9)$$



شکل ۴: مدار الکتریکی مبدل کاهنده- افزاینده پیشنهادی

و خروجی و دو خازن پمپاژ کننده انرژی ( $C_1, C_2$ ) و یک خازن در خروجی ( $C_3$ ) جهت ثابت ولتاژ خروجی و همچنین کاهش ریپل ولتاژ خروجی است.

این مبدل همانند مبدل کاهنده- افزاینده Cuk (D1-D) می‌باشد، و در خروجی ولتاژی با پلاریته منفی را در اختیار قرار می‌دهد، در خروجی دارای ولتاژی با پلاریته منفی است، اما در مقایسه با این مبدل دارای تعداد کلیدهای قدرت بیشتری است. همچنین مبدل پیشنهادی در مقایسه با دو نوع مبدل DC/DC کاهنده- افزاینده از نوع KY و نوع ترکیبی دارای نسبت تبدیل 2D می‌باشد، به عبارتی با این نسبت تبدیل در خروجی ولتاژی بالاتر از دو برابر ولتاژ ورودی نمی‌شود. ولی مبدل پیشنهادی در خروجی، ولتاژ در محدوده صفر تا بی‌نهایت را در اختیار قرار می‌دهد. در مقایسه با تعداد کلیدهای قدرت، مبدل پیشنهادی دارای سه کلید قدرت بوده که از نوع مبدل کاهنده- افزاینده ترکیبی با دو کلید قدرت در وضعیت نامطلوب و در مقایسه با مبدل کاهنده- افزاینده KY با چهار کلید قدرت، در وضعیت مطلوب‌تری از لحاظ تلفات کلیدزنی است [۸ و ۹].

این مبدل دارای دو مد عملکرد است، مد اول زمانیکه کلید  $S_1$  روشن و کلید های  $S_3, S_2$  خاموش هستند، مد دوم زمانیکه  $S_1$  خاموش و  $S_3, S_2$  روشن هستند. در ادامه معادلات مداری و شکل مدار در دو مد عملکرد بررسی می‌شود. در ادامه معادلات مداری و شکل مدار در دو مد عملکرد موردنظر بررسی قرار گرفته است.

#### مد اول عملکردی:

در این مد، کلید  $S_1$  روشن و کلیدهای  $S_3, S_2$  خاموش هستند و دیود  $D_1$  بایاس معکوس و دیود  $D_2$  بایاس مستقیم می‌باشد. در این مد سلف  $L_1$  از طریق ولتاژ ورودی و ولتاژ خازن  $C_1$  که در مد قبلی به اندازه ولتاژ ورودی شارژ شده، یعنی با دو برابر ولتاژ ورودی مغناطیسی می‌شود و خازن  $C_2$  نیز در این مد شارژ می‌شود. همچنین در این مد سلف  $L_2$  که در مد

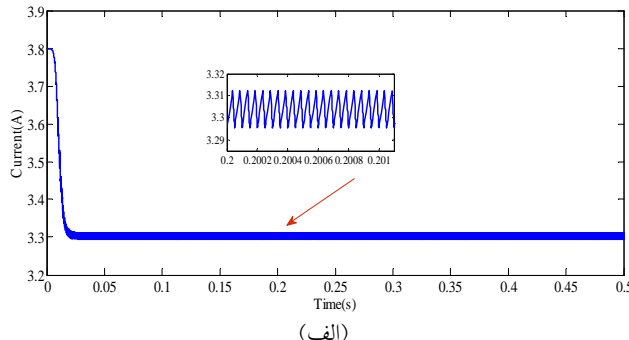
جدول ۱: پارامترهای مبدل‌های مورد استفاده در شبیه‌سازی‌ها

پارامترهای مبدل‌های مورد استفاده در شبیه‌سازی‌ها	مقادیر عناصر
سلف ورودی	۵ میلی هانتری
سلف خروجی	۵ میلی هانتری
خازن خروجی	۱۰۰ میکرو فاراد
مقاومت بار	۱۰ اهم
فرکانس شبیه‌سازی	۲۰ کیلو هرتز

در این بخش نتایج حاصل از شبیه‌سازی‌ها، برای مبدل کاهنده- افزاینده ترکیبی و مبدل KY [۸] با نتایج حاصل برای مبدل پیشنهادی رسم، و مقایسه شده است. مبدل کاهنده- افزاینده ترکیبی و KY دارای نسبت تبدیل  $2D$  برای ولتاژ بوده، به عبارتی در خروجی این مبدل نمی‌توان به ولتاژی بالاتر از دو برابر ولتاژ ورودی دست یافت، در حالیکه مبدل پیشنهادی همانطور که در بخش ۳ دارای نسبت تبدیل  $\left(\frac{1-D}{D}\right)$  بوده و قادر است در

خروجی ولتاژ با دامنه از صفر تا بی‌نهایت را در اختیار قرار دهد. علاوه بر نسبت تبدیل میزان ریپل مبدل‌های کاهنده- افزاینده از معیارهای مهم برای بررسی سودمندی این مبدل‌هاست. در این بخش میزان ریپل جریان، ولتاژ و توان قسمت‌های مختلف مبدل مورد بررسی قرار گرفته است.

از شکل (۸-الف، ب، ج)، که به ترتیب مربوط به شکل موج و ریپل جریان خروجی PV برای مبدل کاهنده- افزاینده ترکیبی مبدل KY و مبدل پیشنهادی است، مشاهده می‌شود که مبدل پیشنهادی، دارای میزان ریپل کمتری است.



(الف)

$$DT * (2 * V_{in} - V_{C2}) + (1 - D)T * (V_{in} - V_{C2}) = 0 \quad (10)$$

$$2 * DV_{in} - DV_{C2} + V_{in} - V_{C2} - DV_{in} + DV_{C2} = 0 \quad (11)$$

$$(1 + D)V_{in} = V_{C2} \quad (12)$$

به طریق مشابه برای سلف  $L_2$  داریم:

$$\int_0^T v_{L2} dt = 0 \quad (13)$$

$$DT * (-V_o) + (1 - D)T * (V_{C2}) = 0 \quad (14)$$

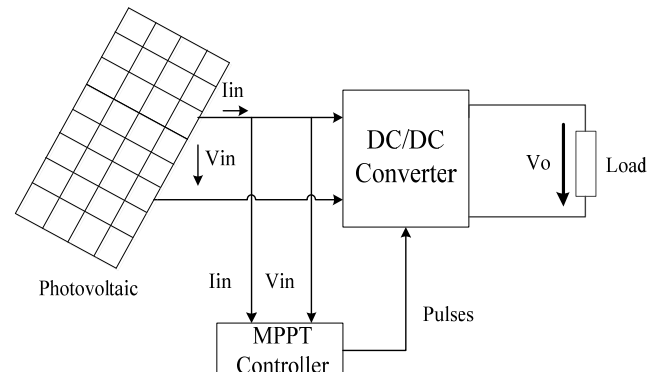
$$DV_o = (1 - D) * (V_{C2}) \quad (15)$$

با جایگذاری رابطه (۱۵) در رابطه (۱۲) داریم:

$$\frac{V_o}{V_{in}} = \frac{(1 - D) * (1 + D)}{D} \quad (16)$$

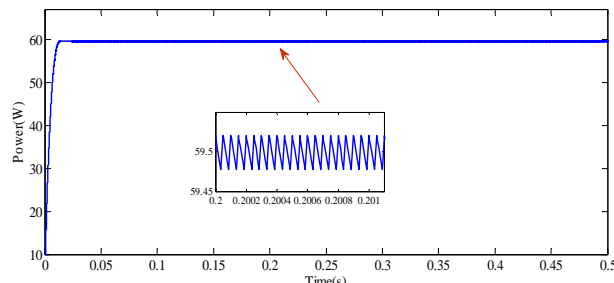
#### ۴. نتایج شبیه‌سازی

در شکل (۷) مدل کلی سیستم مورد استفاده در شبیه‌سازی‌ها نشان داده شده است. همانطوری که از این شکل مشخص است، سیستم دارای سه قسمت مختلف است، که قسمت اول شامل مدل PV، قسمت دوم شامل یک مبدل DC/DC، و عمل حداکثر کردن توان تولیدی توسط MPPT کمک الگوریتم قسمت سوم را شامل می‌شود [۱۰ و ۱۱].

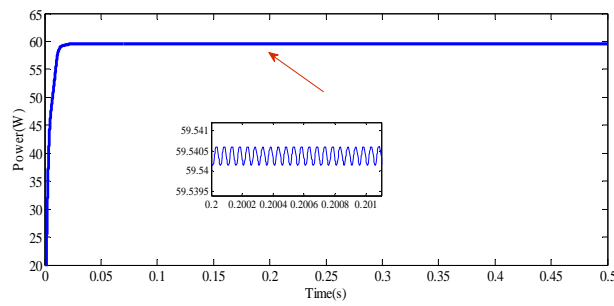


شکل ۷: مدل کلی سیستم شبیه‌سازی

در جدول (۱) به ترتیب پارامترهای مبدل استفاده شده در شبیه‌سازی‌ها آورده شده است.

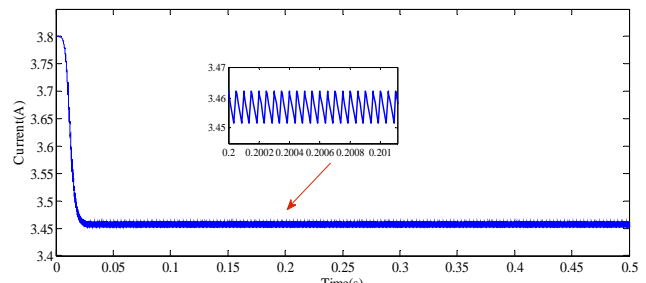


(الف)

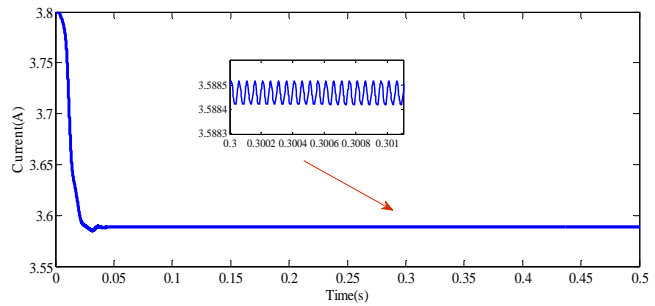


(ب)

شکل ۹: شکل موج و ریپل توان خروجی PV برای مدل کاهنده-افزاینده  
(الف) ترکیبی، (ب) KY، (ج) پیشنهادی



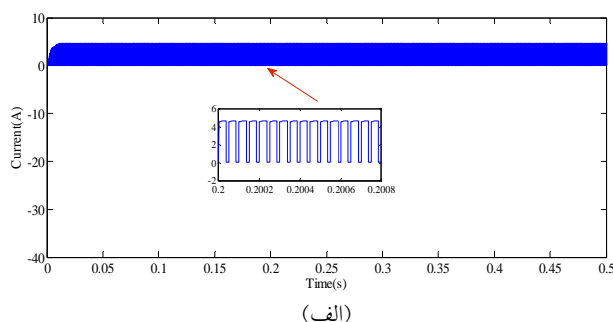
(ب)



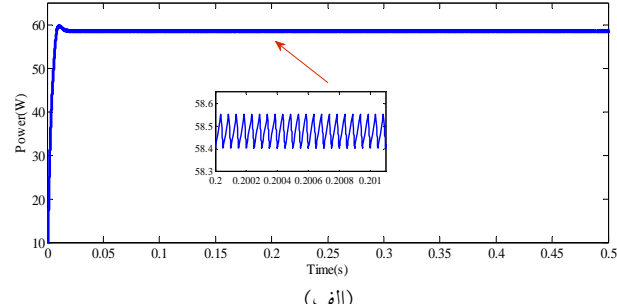
(ج)

شکل ۹: شکل موج و ریپل جریان خروجی PV برای مدل کاهنده-افزاینده  
(الف) ترکیبی، (ب) KY، (ج) پیشنهادی

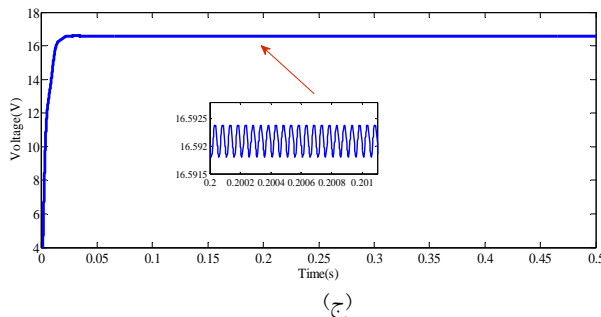
یکی از پارامترهای مهم و تأثیرگذار در بررسی عملکرد مدل‌های DC/DC میزان ریپل جریان ورودی مدل می‌باشد، در شکل (۱۰-الف،ب،ج)، که به ترتیب مربوط به شکل موج و ریپل جریان خروجی PV برای مدل کاهنده-افزاینده ترکیبی مدل KY و مدل پیشنهادی است، مشاهده می‌شود که مدل پیشنهادی در مقایسه با دو مدل دیگر ریپل توان خروجی کمتری دارد که نشانگر عملکرد خوب مدل و سیستم تعقب ماکریم توان می‌باشد.



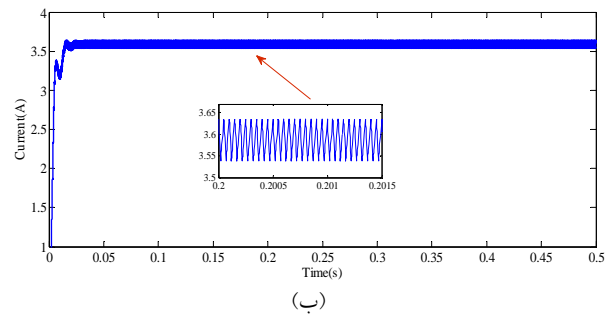
(الف)



(الف)



(ج)



(ب)

شکل ۱۱: شکل موج و ریپل ولتاژ خروجی PV برای مبدل کاهنده-افزاینده

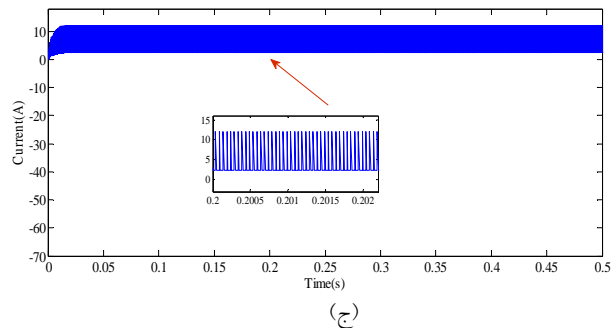
(الف) ترکیبی، (ب) KY، (ج) پیشنهادی

## نتیجه گیری

در این مقاله، یک مبدل‌های کاهنده- افزاینده جدیدی پیشنهاد شده که قادر است در خروجی ولتاژی با هر میزان تقویت را در اختیار قرار دهد، همچنین این مبدل در مقایسه با برخی از مبدل‌ها، از لحاظ میزان ریپل جریان ورودی و ولتاژ خروجی در شرایط بهتری قرار دارد. مبدل پیشنهادی با نرم‌افزار MATLAB/Simulink شبیه‌سازی شد. نتایج حاصل حاکی از رفتار مطلوب این مبدل از قبیل ریپل کم ولتاژ خروجی و جریان ورودی تحت شرایط یکسان در مقایسه با انواع خاصی از مبدل‌های کاهنده- افزاینده و دارای تعداد کلیدهای قدرت کمتر در نتیجه تلفات کمتر در مقایسه با انواع دیگری از این مبدل‌ها می‌باشد.

## منابع

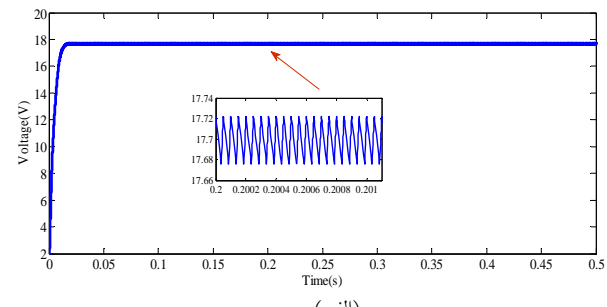
- [1] C. Hua and C. M. Shen, "Study of maximum power tracking techniques and control of dc-dc converters for photovoltaic power system," Proceedings of 29th annual IEEE, Power Electronics Specialists Conference, vol. 1, pp. 86-93, 1998.
- [2] W. Xiao, N. Ozog, and W. G. Dunford, "Topology study of photovoltaic interface for maximum power point tracking," IEEE Trans. Ind. Electron., vol. 54, no. 3, pp. 1696-1704, Jun. 2007.
- [3] A. Safari and S. Mekhilef, "Simulation and Hardware Implementation of Incremental Conductance MPPT with Direct Control Method Using Cuk Converter," IEEE Transactions on Industrial Electronics, Vol. 58, No. 4, pp. 1154-1161, 2017.
- [4] B. Subudhi and R. Pradhan, "Characteristics evaluation and parameter extraction of a solar array based on experimental analysis," in Proc. 9th IEEE Power Electron. Drives Syst., Singapore, Dec. 5-8, 2011.
- [5] B. Subudhi , and R. Pradhan, "A Comparative Study on Maximum Power Point Tracking Techniques for Photovoltaic Power Systems," IEEE Trans on Sustainable Energy, vol. 4, no. 1, pp. 1949-3029, 2013.
- [6] C. -S. Chiu, "T-S fuzzy maximum power point tracking control of solar power generation systems," IEEE Trans. Energy Conv., vol. 25, no. 4, pp. 1123-1132, Dec. 2010.
- [7] B. Alajimi, K. H. Ahmed, S. J. Finney, and B. W. Williams, "Fuzzy logic- control approach of a modified hill-climbing method for maximum power point in microgrid standalone photovoltaic system," IEEE Trans. Power Electron., vol. 26, no. 4, pp. 1022-1030, Apr. 2011.



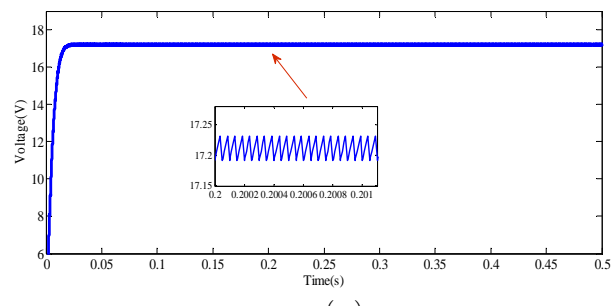
(ج)

شکل ۱۰: شکل موج و ریپل توان خروجی PV برای مبدل کاهنده-افزاینده  
(الف) ترکیبی، (ب) KY، (ج) پیشنهادی

از شکل ۱۱-الف، ب، ج)، که به ترتیب مربوط به شکل موج و ریپل ولتاژ خروجی PV برای مبدل کاهنده- افزاینده ترکیبی مبدل KY و مبدل پیشنهادی است، مشاهده می‌شود که مبدل پیشنهادی، دارای میزان ریپل کمتری است.



(الف)



(ب)

- [8] K. I. Hwu, and Y. T. Yau, "Two Types of KY Buck-Boost Converters," IEEE Trans. Power Electron., vol. 30, no. 8, pp. 0278-0046, 2015.
- [9] S.-H. Park, T.-S. Kim, J.-S. Park, G.-W. Moon, and M.-J. Yoon, "A new buck-boost type battery equalizer," in Proc. 24th Annu IEEE APEC, Feb. 15–19, pp. 1246–1250, 2009.
- [10] W. Xiao, N. Ozog, and W. G. Dunford, "Topology study of photovoltaic interface for maximum power point tracking," IEEE Trans. Ind. Electron., vol. 63, no. 3, pp. 1696–1704, Jun. 2016.
- [11] R. Teodorescu, P. Rodriguez, and M. Liserre, "Power electronics for PV power systems integration," in Proc. IEEE ISIE, Jul. 4–7, pp. 4532–4614, 2010.